

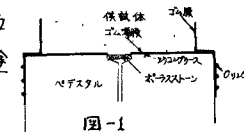
砂のせん断抵抗について

京都大学防災研究所 正員・八木則男
前田建設工業 K.K. 正員・鶴出三朗

1. まえがき：飽和砂のせん断抵抗は $\tau = \sigma \tan \phi_m$ で表わされる。ここではせん断抵抗、 τ は垂直応力、 σ は發揮された摩擦角である。このせん断抵抗の成分については①砂粒子間の摩擦によるもの、②ダイレイタニニーによる体積変化か外圧に対する仕事のために生ずるもの、③粒子の再配列 (reorientation) のために生ずるものがあるといわれている。^{(1),(2),(3)} ②の成分の理論値については種々の提案がなされている。これらのせん断抵抗の成分を適確に把握することは砂の応力～ひずみ関係などの力学特性を知るうえに重要である。ここでは②の成分が砂に作用して③平均主応力に対する体積変化の仕事によるものとして、三軸試験機により平均主応力が一定のせん断試験を行ない、砂のせん断抵抗について考察した。

2. 実験装置、試料、供試体、試験方法：実験装置は 2 フラフ最小主応力 σ_3 等しい ($\sigma_1 = \sigma_2 = \sigma_3$) 三軸試験機である。試料は豊浦の標準砂である。一般に供試体は変形が進むにつれて樽状にならるので、変形量や体積変化の正確な値を求めることが困難であった。ここでは供試体を直徑 5cm、高さ 5cm の円柱形とし、図-1 に示すように、供試体端面と載荷用キャップおよびペデスタルの間にシリコンクリースを薄く塗りつけたゴム膜を 2 枚重ねて挿入し、両者の間の摩擦を除去した。⁽⁴⁾

この結果、供試体の横方向の変位はほぼ一様となる。供試体からの排水のため、ペデスタルの中央部に直徑約 3mm のポーラストンを埋込み、その上のゴム膜の部分に孔を開けた。試験は平均主応力 σ_m を一定にした三軸せん断試験でひずみ制御式である。 $\sigma_1 = \sigma_2 = \sigma_3$ の状態で所定の σ_m を与え、主応力差 ($\sigma_1 - \sigma_3$) の増加に応じて側圧 σ_3 を減少させた。ひずみ制御式では $(\sigma_1 - \sigma_3)$ は連続的に変化するので、 σ_m 、 $(\sigma_1 - \sigma_3)$ 、供試体断面積 A に応じた時の表を作成し、これに従って 0.005 kg/cm^2 ブラ段階的に手動ピストンで σ_3 を変化させた。また、ひずみ速度は $10\%/\text{hour}$ である。



3. 実験結果および考察： $\sigma_m = 0.5, 1.0, 1.5, 2.0, 2.5 \text{ kg/cm}^2$ に対する $(\sigma_1 - \sigma_3)$ とせん断ひずみ ϵ_s の関係を示すと図-2 のようである。ここで下では対数ひずみを用いたが、体積変化についてはも同様である。 $(\sigma_1 - \sigma_3)$ がものはか変化しない時の大きさはところでも体積は膨張してなる。図中の e_0 は初期開口ひずみである。体積変化がせん断抵抗におよぼす影響を調べるために、 $d(\frac{\sigma_1}{\sigma_3})/d\epsilon_s$ と $(\sigma_1 - \sigma_3)$ の関係を示したのが図-3 である。図中、各 σ_m に対して 2 本の曲線が示されているが、下の曲線は $(\sigma_1 - \sigma_3)$ が最大値に達するまでであり、上の曲線はそれ以後のひずみに対応するものである。また、矢印は変形の進行方向を示しており、黒矢印は $(\sigma_1 - \sigma_3)$ の最大値である。この図によると同じ $d(\frac{\sigma_1}{\sigma_3})/d\epsilon_s$

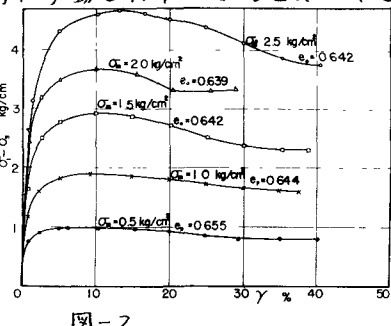


図-2

の値に対する $(\sigma_1 - \sigma_3)$ の値は $(\sigma_1 - \sigma_3)$ の最大値の前より後の方が大きい。体積変化によるせん断抵抗が $\sigma_m \cdot d(\frac{\partial V}{V})/d\sigma$ によることをすれば、 σ_m は一定でないから、体積変化によるせん断抵抗以外のせん断抵抗の成分が $(\sigma_1 - \sigma_3)$ が最大に達した後も増加していくことになる。これは間けき比が $(\sigma_1 - \sigma_3)/(\sigma_1 + \sigma_3)$ が最大に達する前の元以後の方より小さく、供試体の状態が異なりうこと、小さいかわりではせん断抵抗成分が十分に發揮されていないことに原因していると思われる。これらのことは $d(\frac{\partial V}{V})/d\sigma$ が最大値に達した後には $(\sigma_1 - \sigma_3)$ が最大にならずにいることからわかる。 $d(\frac{\partial V}{V})/d\sigma$ の変化が内部摩擦角におよぼす影響を調べるために、 $\sin\phi = (\sigma_1 - \sigma_3)/(\sigma_1 + \sigma_3)$ と $d(\frac{\partial V}{V})/d\sigma$ の関係を示したのが図-4である。 $\sin\phi$ の最大値後は $\sin\phi$ は $d(\frac{\partial V}{V})/d\sigma$ に対して直線的に減少していくので、 σ_m が小さいほど同じ $d(\frac{\partial V}{V})/d\sigma$ に対して $\sin\phi$ が大きくなることがわかる。平均的な直線を引いて、 $d(\frac{\partial V}{V})/d\sigma = 0$ (このときの間けき比を限界間けき比 e_{cr} とする) のときの $\sin\phi$ の値を計算して求めると 0.58 となる。つぎに間けき比 e による $\sin\phi$ の変化を調べるために、 e に対し $\sin\phi$ を示すと図-5のようになる。 $e < 0.7$ では e が小さいにもかかわらず $\sin\phi$ が大きいが、これは 1 つの供試体に対するせん断試験の過程で変化する e に対しそれと $\sin\phi$ をプロットしたものであり、 $e < 0.7$ ではまだ十分にすべてのせん断抵抗の成分が發揮されていない。したがって、 $e > 0.7$ において十分せん断抵抗が発揮されていようとすると、 e による $\sin\phi$ の変化は $e > 0.7$ で示される。この図によると、同じ e に対しては σ_m が小さいほど $\sin\phi$ の値は大きい、これは図-4の $d(\frac{\partial V}{V})/d\sigma$ に対するものよりも顕著である。 $T = F$ の $\sigma_m = 2$ kg/cm^2 のものは実験誤差があったと思われ、これは図-2の応力～ひずみ関係をみてもわかる。また $\sin\phi = 0.58$ に対する e_{cr} の値を各々の σ_m に対して図-5の $e - \sin\phi$ 関係を計算して求めると、 e_{cr} は σ_m の小さいほど“大きい”。Casagrande の方法かその他の方法で求めたものよりも σ_m の大きさによると e_{cr} の差は、砂の種類によっても異なるが、大きい方へいくとある。 σ_m による $\sin\phi$ の変化を e を $10^3 \times e - 7$ に示すと図-6のようである。

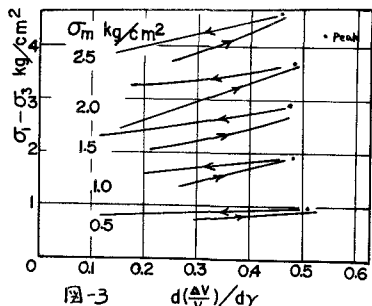


図-3 $d(\frac{\partial V}{V})/d\sigma$

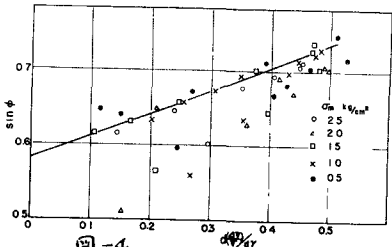


図-4

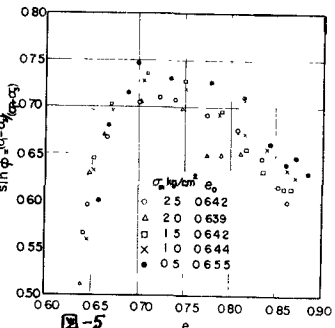


図-5

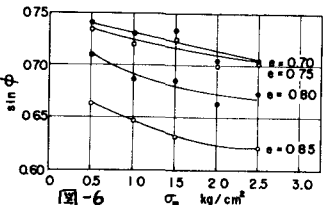


図-6

参考文献

- 1) P.W. Rowe; "The stress dilatancy relations for static equilibrium of assemblies of particles in contact," Proc. Roy. Soc. London, Series A, 1961, pp50~52
- 2) A.W. Bishop; "Correspondence," Geotech., vol 4, 1954, pp43~45
- 3) B. Ladevèze; "Etude des relations entre les contraintes et les déformations lors du cisaillement des sols pulvérulents," Bll. Ann. Trav. Publ. Belg., 1960, pp261~270
- 4) P.W. Rowe and L. Barden; "Importance of free ends in triaxial testing," Jour. Soil Mech. and Found. Div., ASCE., SM1, 1964, pp1~27
- 5) P.W. Taylor; "Fundamentals of Soil Mechanics," Wiley-Tuttle, New York, 1948, pp 354~358